

基于 Fe_3O_4 磁分子印迹纳米粒子比色检测蔬菜中 6-苄氨基腺嘌呤残留

Colorimetric detection of 6-benzylaminopurine residues in vegetables based on Fe_3O_4 magnetic molecular-imprinted nanoparticles

刘艺丹^{1,2} 栗鑫^{1,2} 王婧丽^{1,2} 李脉泉^{1,2} 刘霞^{1,2}

LIU Yidan^{1,2} LI Xin^{1,2} WANG Jingli^{1,2} LI Maiquan^{1,2} LIU Xia^{1,2}

(1. 湖南农业大学食品科学技术学院, 湖南长沙 410128;

2. 食品科学与生物技术湖南省重点实验室, 湖南长沙 410128)

(1. School of Food Science and Technology, Hunan Agricultural University, Changsha, Hunan 410128, China;

2. Hunan Provincial Key Laboratory of Food Science and Biotechnology, Changsha, Hunan 410128, China)

摘要: [目的] 实现蔬菜中 6-苄氨基腺嘌呤(6-BA)残留的快速、灵敏、可视化检测。[方法] 基于 Fe_3O_4 磁分子印迹纳米粒子(Fe_3O_4 MMIP NPs)的类过氧化物酶活性和特异识别性, 构建了一种简单、快速、高选择性检测 6-BA 的比色方法, 并用于蔬菜中 6-BA 残留检测。[结果] 在 pH 4.0、 H_2O_2 浓度 0.02 mol/L、TMB 浓度 0.02 mol/L 和反应时间 5 min 时, Fe_3O_4 MMIP NPs 表现出最佳的类过氧化物酶催化活性。6-BA 在 1~300 ng/mL 质量浓度范围内与空白和样品吸光度值的差值呈良好的线性关系, 检测限为 0.697 ng/mL。该方法被成功应用于蔬菜(黄瓜、西红柿、黄豆芽、绿豆芽)中 6-BA 残留检测, 回收率为 83.47%~106.76%, 相对标准差为 0.37%~5.66%。此外, 4 °C 下, Fe_3O_4 MMIP NPs 贮存 60 d 后仍能保持良好的催化活性。[结论] 基于 Fe_3O_4 MMIP NPs 检测 6-BA 的比色方法具有简便、快速、经济等优势, 能够用于蔬菜中 6-BA 残留检测, 具备一定的可靠性和实用性。

关键词: 磁分子印迹纳米粒子; 类过氧化物酶; 6-苄氨基腺嘌呤; 比色检测; 蔬菜

Abstract: [Objective] Achieving a rapid, sensitive, and visual detection of 6-benzylaminopurine (6-BA) residues in vegetables. [Methods] Based on the peroxidase-like activity and specific recognition of Fe_3O_4 magnetic molecularly imprinted nanoparticles (Fe_3O_4 MMIP NPs), a simple, rapid and highly

基金项目: 国家自然科学基金项目(编号:31671931); 湖南省自然科学基金(编号:2020JJ4354)

作者简介: 刘艺丹, 女, 湖南农业大学在读硕士研究生。

通信作者: 刘霞(1976—), 女, 湖南农业大学教授, 博士。

E-mail: liuxiaspr@aliyun.com

收稿日期: 2024-04-03 **改回日期:** 2024-05-30

selective colorimetric method was established to detect 6-BA residues in vegetables. [Results] Fe_3O_4 MMIP NPs exhibits optimal peroxidase-like catalytic activity at pH 4.0, 0.02 mol/L TMB, 0.02 mol/L H_2O_2 and a reaction time of 5 min. 6-BA showed a good linear relationship with the difference between the blank and the sample absorbance value in the mass concentration range of 1~300 ng/mL with a limit of detection at 0.697 ng/mL. The method was successfully applied to the detection of 6-BA residues in vegetables (cucumber, tomato, bean sprouts, mung bean sprouts). The recovery rate was 83.47%~106.76%, with a relative standard deviation of 0.37%~5.66%. In addition, Fe_3O_4 MMIP NPs could still maintain good catalytic activity after 60 days of storage at 4 °C. [Conclusion] The colorimetric method for the detection of 6-BA based on Fe_3O_4 MMIP NPs has the advantages of simplicity, rapidity, economy, and can be used for the detection of 6-BA residues in vegetables, which has certain reliability and practicability.

Keywords: magnetic molecularly imprinted nanoparticles; peroxidase-like; 6-benzylaminopurine; colorimetric detection; vegetables

6-苄氨基腺嘌呤(6-benzylaminopurine, 6-BA)是一种人工合成的细胞分裂素, 具有促进细胞分裂和诱导发育的作用^[1], 还可用作果蔬保鲜, 延缓果实衰老^[2], 常被添加到豆芽中促进生长。但过量使用 6-BA 会对眼睛、皮肤和上呼吸道造成损伤^[3]; 可能还会对生殖系统及神经系统造成损伤, 严重的可引起急性中毒、癌症及性早熟^[4]。2015 年中国发布公告, 严禁在豆芽生产中添加 6-BA^[5]。目前, 常见的 6-BA 检测方法有高效液相色谱法

(HPLC)^[6]、表面增强拉曼光谱法(SERS)^[7]、电化学方法^[8]和酶联免疫吸附法^[9]等,这些方法具有检测限低、准确度高等优势,但 HPLC、SERS 存在仪器价格昂贵、步骤繁琐、耗时且需要专业人员操作;电化学方法受基质效应影响较大、稳定性不佳;酶联免疫吸附法成本较高,灵敏度有限。因此,研发一种快速、简单、灵敏的蔬菜中残留 6-BA 的检测方法对于食品安全具有重要意义。

纳米酶(nanoenzyme)是一类具有类过氧化物酶催化活性的纳米材料,具有稳定性高、化学性质独特、表面易调节和生物相容性等优点,解决了天然酶制备困难、成本高、易失活等问题^[10-11]。Gao 等^[12]研究发现,Fe₃O₄ 纳米粒子(Fe₃O₄ NPs)具有与天然过氧化物酶相似的催化活性。Fe₃O₄ NPs 因制备工艺简单,原料廉价易得,超顺磁性、稳定性好等优点,已被广泛应用于食品分析、医疗诊断等领域^[13-16]。

分子印迹聚合物(MIP)是应用分子印迹技术制备的一种可特异性识别目标分子的聚合物。选用合适的功能单体与模板分子结合后,通过加入交联剂和引发剂成为聚合物,再用洗脱剂去除模板分子后产生识别空腔,该空腔可特异性吸附模板分子^[17-18]。MIP 具有成本低、易于

合成、亲和力高,可选择性识别特定分子的能力,且长时间贮藏后仍能保持选择性^[19]。

磁分子印迹聚合物纳米粒子(MMIP NPs)是 Fe₃O₄ NPs 与 MIP 的结合体,具有类过氧化物酶催化活性、特异性吸附和磁分离特性^[20]。Li 等^[21]基于 Fe₃O₄ MMIP NPs 开发出一种简单、高选择性比色传感,用于检测牛奶中的诺氟沙星。Guo 等^[22]开发了一种多功能 MMIP NPs,在 60 min 内氧化 TMB 产生比色信号,能够高效地检测食品中的卵黄抗体。Zhou 等^[23]通过多巴胺自聚合制备了高特异性和过氧化物酶活性的 MIPs@Fe₃O₄-NH₂,在 1~250 μmol/L 范围内,吸光度值与原儿茶素(PCA)浓度呈负相关,检测限为 0.841 μmol/L,该方法可快速、高特异性检测绿茶中的 PCA。

课题组^[24-25]前期制备了 Fe₃O₄ MMIP NPs 和 Fe₃O₄ 磁非分子印迹纳米粒子(Fe₃O₄ MNIP NPs),并验证了其类过氧化物酶催化活性。研究拟以 3,3',5,5'-四甲基联苯胺(TMB)为显色底物,构建一种检测 6-BA 的比色方法(显色原理见图 1),并将其应用于蔬菜样品中 6-BA 的检测,同时与 ELISA 方法进行比较,以验证所建方法的准确性。

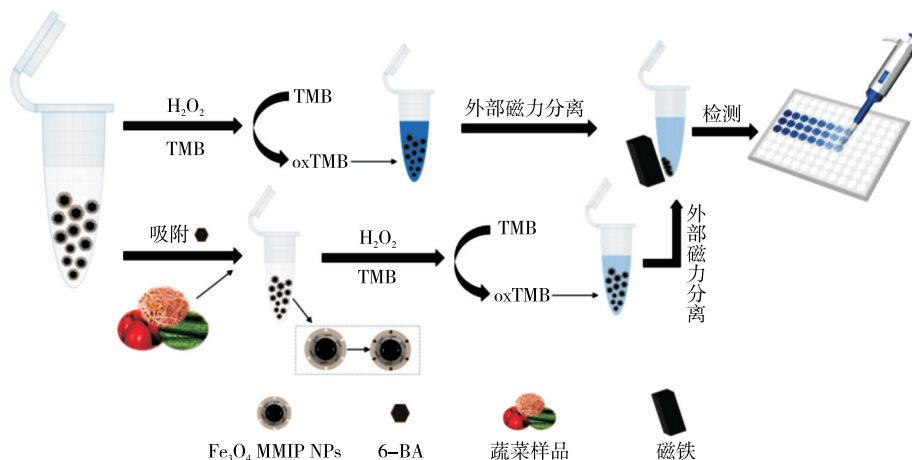


图 1 Fe₃O₄ MMIP NPs 比色检测 6-BA 原理

Figure 1 Principle for the colorimetric determination of 6-BA based on the Fe₃O₄ MMIP NPs

1 材料与方法

1.1 材料与试剂

6-苄氨基腺嘌呤(6-BA)、6-糠氨基嘌呤(6-KT)、2-异戊烯腺嘌呤(2-IP):纯度≥98%,上海瑞永生物科技有限公司;

α-萘乙酸(NAA):上海国药集团化学试剂有限公司;

TMB、邻苯二胺(OPD)、2,2-联氮-双(3-乙基苯并噻唑啉-6-磺酸)二铵盐(ABTS):纯度≥99%,麦克林生物化学有限公司;

2,4-二氯苯氧乙酸(2,4-D):纯度≥98%,阿拉丁生物

有限公司;

黄瓜、西红柿、黄豆芽、绿豆芽:市售;

Fe₃O₄@COOH 纳米酶、Fe₃O₄ MMIP NPs:实验室自制;

试验用水均为超纯水;

ELISA 试剂盒:上海科兴有限公司。

1.2 仪器与设备

电子天平:DATY224R 型,日本岛津公司;

离心机:TG16 MW 型,湖南赫西仪器装备有限公司;

多功能酶标仪:Multiskan GO 1510 型,美国 Thenm Scientific 公司;

紫外分光光度计: Lambda 365 型, 美国 PerKinElmer 公司。

1.3 试验方法

1.3.1 Fe₃O₄ MMIP NPs 类过氧化物酶的催化活性测定

在含有 1.2 mg Fe₃O₄ MMIP NPs 离心管中, 依次加入 800 μ L HAc-NaAc 缓冲液 (0.1 mol/L, pH 4.0), 150 μ L H₂O₂ (0.01 mol/L) 和 50 μ L 显色底物 (0.02 mol/L 的 TMB/ABTS/OPD), 25 $^{\circ}$ C 反应 4 min 后, 在外部磁力下分离上清液, 测定 550~750 nm 处的吸收光谱。

1.3.2 检测方法的可行性分析 向 1.2 mg Fe₃O₄ MMIP NPs/Fe₃O₄ MNIP NPs 中加入 200 μ L 6-BA (1.5 μ g/mL), 室温孵育 20 min 后去除上清液, 依次加入 800 μ L HAc-NaAc 缓冲液 (0.1 mol/L, pH 4.0), 150 μ L H₂O₂ (0.01 mol/L) 和 50 μ L TMB (0.02 mol/L), 混匀, 25 $^{\circ}$ C 反应 4 min, 在外部磁力下分离上清液, 测定 550~750 nm 处的吸收光谱。

1.3.3 比色检测条件优化 考察缓冲液 pH、H₂O₂ 浓度、TMB 浓度及反应时间对 Fe₃O₄ MMIP NPs 催化活性的影响, 试验方法同 1.3.2, 测定其在 652 nm 处的吸光度值, 每个试验平行测定 3 次。

1.3.4 比色检测 6-BA 残留 最佳检测条件下, 将 200 μ L 不同浓度的 6-BA 标准溶液分别与 1.2 mg Fe₃O₄ MMIP NPs 室温静置 20 min, 去除上清液后, 依次加入 HAc-NaAc 缓冲液、H₂O₂ 和 TMB, 混匀, 25 $^{\circ}$ C 反应 5 min, 外部磁力分离上清液, 检测 652 nm 处的吸光度。以 6-BA 浓度为横坐标, 空白与样品吸光度值的差值 ($\Delta A_{652 \text{ nm}}$) 为纵坐标, 建立检测 6-BA 的标准曲线。

选择两种 6-BA 的结构类似物 6-KT、2-IP 和两种非结构类似物 (植物生长调节剂) 2,4-D、NAA (各物质初始质量浓度均为 1.5 μ g/mL), 考察检测方法的选择性。同时, 考察 Fe₃O₄ MMIP NPs 对上述物质的吸附效率, 均平行测定 3 次。

1.3.5 Fe₃O₄ MMIP NPs 的重用性和稳定性 根据反应体系在 652 nm 处的吸光度变化, 及 Fe₃O₄ MMIP NPs 对

6-BA (1.5 μ g/mL) 的吸附效率, 评估 Fe₃O₄ MMIP NPs 的重用性, 具体试验步骤同 1.3.4。每次反应结束后, 先用 1 mL 甲醇—乙酸混合溶液 ($V_{\text{甲醇}} : V_{\text{乙酸}}$ 为 9 : 1) 洗涤 Fe₃O₄ MMIP NPs 数次, 再使用 1 mL 超纯水洗涤 3 次。制备的 Fe₃O₄ MMIP NPs 于 4 $^{\circ}$ C 下保存不同天数, 检测其催化活性和吸附效率, 考察其贮藏稳定性。

1.3.6 实际样品中 6-BA 的检测 以黄瓜、西红柿、黄豆芽、绿豆芽作为实际样品。称取 10 g (精确到 0.01 g) 样品, 加入 20 mL 甲醇, 超声 15 min, 4 000 r/min 离心 10 min, 重复两次, 合并上清液于 55 $^{\circ}$ C 旋蒸浓缩近干, 甲醇定容至 5 mL (GB/T 23381—2009)。通过加入不同浓度的 6-BA 标准溶液进行回收试验, 同时做空白对照, 并与市售 ELISA 试剂盒的加标回收结果进行对比。

1.3.7 数据分析 各试验均平行测定 3 次, 取平均值进行数据分析。采用 SPSS Statistics 26 软件进行统计学数据处理, 采用 Origin 2024 软件绘图。

2 结果与分析

2.1 Fe₃O₄ MMIP NPs 的类过氧化物酶催化活性

Fe₃O₄ MMIP NPs 能催化 H₂O₂ 氧化底物 TMB、ABTS、OPD 发生明显的显色反应, 使溶液分别呈蓝色、绿色和黄色 [图 2(a)], 说明所制备的 Fe₃O₄ MMIP NPs 具有良好的类过氧化物酶催化活性。此外, 相同条件下, Fe₃O₄ MMIP NPs 催化 H₂O₂ 氧化 TMB, 在最佳吸收波长 (652 nm) 处的吸光度值显著高于 ABTS (415 nm) 和 OPD (450 nm) 的, 且吸收峰较为对称。考虑到 ABTS 对眼睛、呼吸道和皮肤有刺激性作用, OPD 对机体有致突变作用, 选择 TMB 作为显色底物。

2.2 检测方法的可行性

由图 2(b) 可知, Fe₃O₄ MMIP NPs 的加入能加速 H₂O₂ 分解, 进而氧化 TMB, 使溶液呈蓝色, 其吸收峰强度 (曲线 a) 明显高于 H₂O₂-TMB 体系 (曲线 e), 说明 Fe₃O₄ MMIP NPs 具有类过氧化物酶活性。此外, H₂O₂-TMB 体系颜色为浅蓝色, 可能是 H₂O₂ 部分分解产生的

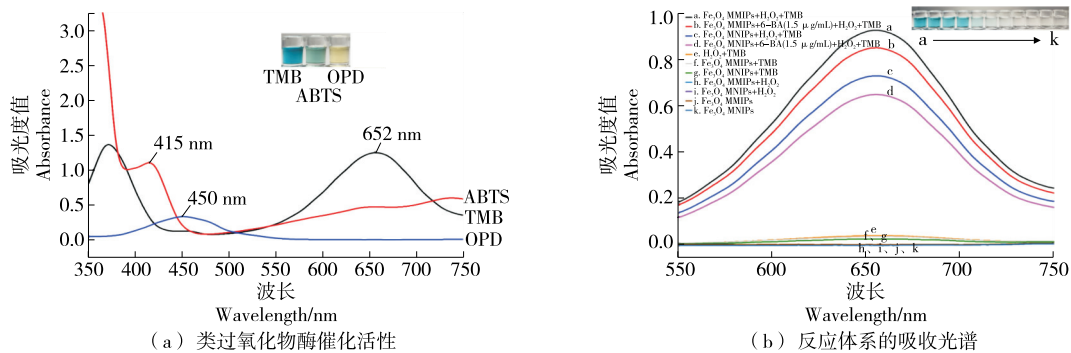


图 2 Fe₃O₄ MMIP NPs 的类过氧化物酶催化活性及不同反应体系的吸收光谱

Figure 2 Peroxide-like catalytic activity of Fe₃O₄ MMIP NPs, absorption spectra of different reaction systems

氧气及存在于溶液、空气中的氧气氧化了 TMB。

曲线 a、b 分别为有无 6-BA 的可见光吸收峰, 6-BA 的存在使 Fe_3O_4 MMIP NPs- H_2O_2 -TMB 体系溶液颜色相对较浅, 在 652 nm 处的吸光度降低(曲线 b), 说明 6-BA 的存在可抑制 Fe_3O_4 MMIP NPs 类过氧化物酶活性。这是由于 6-BA 与 Fe_3O_4 MMIP NPs 表面部分空腔特异性结合, 使 Fe_3O_4 MMIP NPs 的表面催化面积减少, 催化活性降低。此外, 由于 Fe_3O_4 MNIP NPs 表面缺乏特定的空腔(曲线 c), 与 H_2O_2 之间形成屏障, 阻碍了 Fe_3O_4 MNIP NPs 对 H_2O_2 的催化, 故 Fe_3O_4 MNIP NPs- H_2O_2 -TMB 体系的吸收峰强度低于含有 Fe_3O_4 MMIP NPs 的体系(曲线 a、b)。在 Fe_3O_4 MNIP NPs- H_2O_2 -TMB 体系中加入 6-BA 后(曲线 d), 由于 Fe_3O_4 MNIP NPs 表面存在少量的非特异性吸附, 加大了对 Fe_3O_4 MNIP NPs 活性的抑制, 故吸收峰弱于 Fe_3O_4 MNIP NPs- H_2O_2 -TMB 体系(曲线 c)。

曲线 f、g、h、i 为 Fe_3O_4 MMIP NPs 存在下, H_2O_2 和 TMB 分别单独存在于体系的可见光吸收峰, 表明只有 H_2O_2 和 TMB 同时存在于体系中时, Fe_3O_4 MMIP NPs 催化反应才可发生; 虽然无 H_2O_2 的参与(曲线 f、g), 反应体系也出现了吸收峰, 这是由于空气中的少量氧气与溶液相接触, 缓慢氧化 TMB。曲线 j、k 分别为 Fe_3O_4 MMIP NPs、 Fe_3O_4 MNIP NPs 单独存在时的可见光吸收峰, 表明仅有催化剂单独存在的体系不发生催化反应。

综上, Fe_3O_4 MMIP NPs 比色检测 6-BA 具有可行性。

2.3 检测条件优化

由图 3 可知, 随着缓冲液 pH 的增大, 反应体系的吸光度值先增加后降低, 当缓冲液 pH 为 4.0 时, 反应体系的吸光度值达最大, 故选择 4.0 为最佳 pH。当 H_2O_2 浓度 < 0.02 mol/L 时, 反应体系的吸光度值快速增加, 继续增大 H_2O_2 浓度, 反应体系的吸光度值呈下降趋势, 故选择 H_2O_2 的最佳浓度为 0.02 mol/L。显色底物 TMB 的浓度是影响比色反应的重要因素, 反应体系的吸光度值随 TMB 浓度的增加呈快速上升趋势, 但当 TMB 浓度 > 0.02 mol/L 时, 反应体系的颜色难以肉眼分辨, 因此选择 TMB 浓度为 0.02 mol/L。当反应时间为 5 min 时, 反应体系的吸光度值变化趋于平稳, 出于快速检测的要求, 选择最佳反应时间为 5 min。因此, 比色检测的最佳条件为 pH 4.0, H_2O_2 浓度 0.02 mol/L, TMB 浓度 0.02 mol/L 和反应时间 5 min。

2.4 比色检测 6-BA

由图 4 可知, 随着 6-BA 质量浓度的增加, Fe_3O_4 MMIP NPs- H_2O_2 -TMB 反应体系在 652 nm 处的吸光度值逐渐降低, 表明 Fe_3O_4 MMIP NPs 能高选择性吸附 6-BA, 并抑制了 $Fe_3O_4@COOH$ 纳米酶的过氧化物酶活性。 $\Delta A_{652\text{ nm}}$ 与 6-BA 质量浓度在 1~300 ng/mL 范围内具有良好的线性关系, 线性回归方程为 $y = 0.0015x + 0.0661$ ($R^2 = 0.9984$), 以 3 倍信噪比 ($S/N = 3$) 求得试

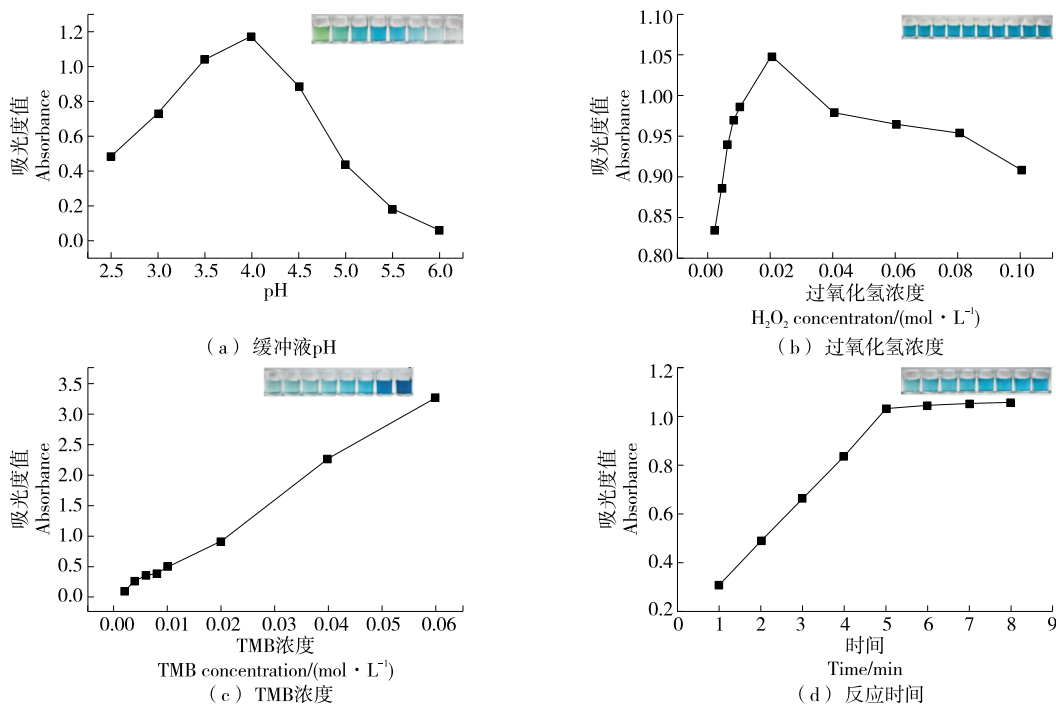


图 3 检测条件对显色效果的影响

Figure 3 Effects of detection conditions on color rendering

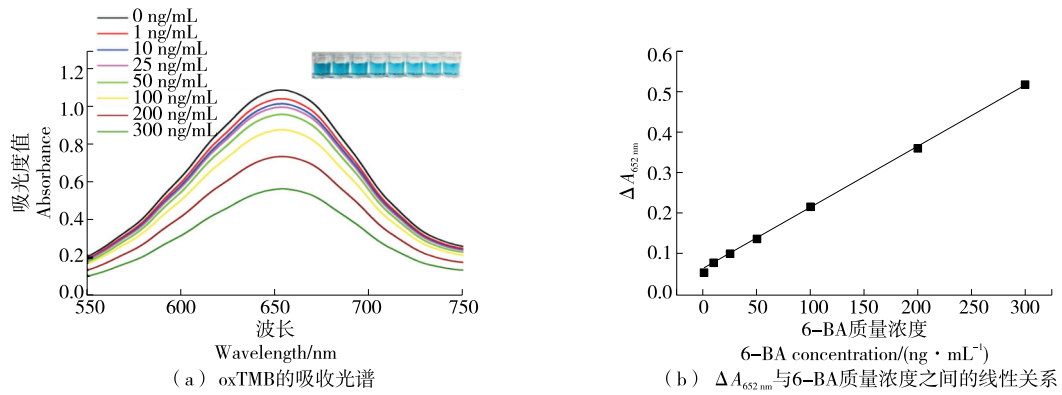


图 4 6-BA 的比色检测结果
Figure 4 Colorimetric assay results of 6-BA

验方法的检测限(LOD)为 0.697 ng/mL。

为评估所建立的 Fe₃O₄ MMIP NPs 比色法检测 6-BA 的选择性,选择 6-KT、2-IP、2,4-D、NAA 作为干扰物进行试验。如图 5 所示,相同条件下,Fe₃O₄ MMIP NPs 对 6-BA 的吸附效率达 100%,对结构类似物 6-KT、2-IP 和非结构类似物 2,4-D、NAA 的吸附效率分别为 25.18%,18.24%,13.68%,3.36%;同时,Fe₃O₄ MMIP NPs 吸附 6-BA 的反应体系在 652 nm 处所引起的吸光度值差最大,分别为 6-KT、2-IP、2,4-D、NAA 的 2.49,3.72,3.20,10.57 倍。这主要是由于各物质化学结构存在差异,对于两种非结构类似物也存在少量吸附,则归因于 Fe₃O₄ MMIP NPs 表面存在的非特异性吸附现象。综上,试验建立的比色检测 6-BA 的方法具有良好的选择性。

2.5 Fe₃O₄ MMIP NPs 的重用性和稳定性

由图 6(a)可知,经 6 次循环后,Fe₃O₄ MMIP NPs 的相对吸附能力和过氧化物酶活性仍保持在 85% 以上,说明 Fe₃O₄ MMIP NPs 具有较好的重复使用性。吸附效率有所降低可能是经过多次循环使得 Fe₃O₄ MMIP NPs 表面的分子印迹层受到一定程度的破坏;催化活性的下降或许是受洗脱液的影响,Fe₃O₄@COOH 纳米酶中 Fe²⁺

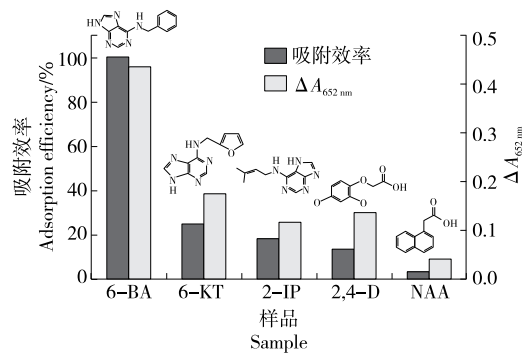
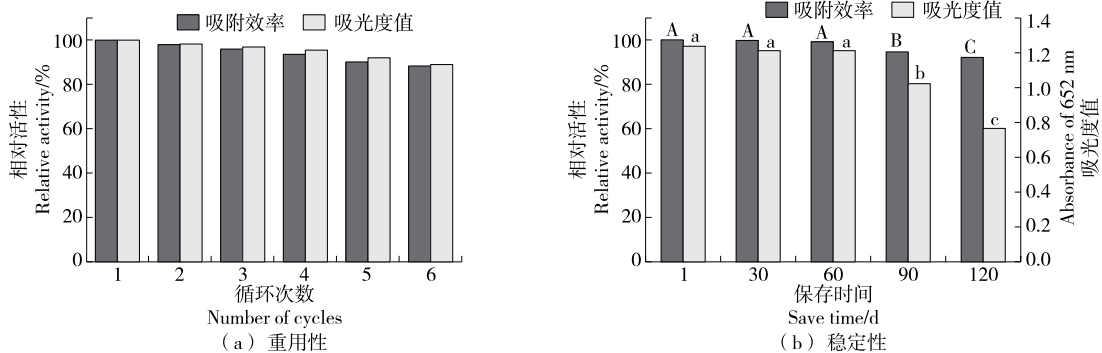


图 5 Fe₃O₄ MMIP NPs 比色检测 6-BA 的选择性
Figure 5 Selectivity of Fe₃O₄ MMIP NPs colorimetric detection of 6-BA

和 Fe³⁺ 的稳定性被破坏。

由图 6(b)可知,在冷藏条件下保存 0~60 d 时,Fe₃O₄ MMIP NPs 的吸附效率和催化活性均无显著性差异;贮藏第 90 天,Fe₃O₄ MMIP NPs 的吸附效率和催化活性均显著下降(P<0.05),但总体仍表现出良好的吸附性能和催化活性,说明其能够稳定保存 60 d,即具有良好的稳定性。



大写字母表示不同贮藏时间的吸附效率差异显著(P<0.05);小写字母表示不同贮藏时间的吸光度值差异显著(P<0.05)

图 6 Fe₃O₄ MMIP NPs 的重用性和稳定性
Figure 6 Reusability and stability of Fe₃O₄ MMIP NPs

2.6 实际样品中 6-BA 的检测

采用 GB/T 23381—2009 对黄瓜、西红柿、黄豆芽、绿豆芽进行 6-BA 检测,结果表明均不含有 6-BA。由表 1 可知,试验建立的比色法检测蔬菜中 6-BA 的回收率为 83.47%~106.76%,相对标准偏差(RSD)为 0.37%~5.66%。ELISA 试剂盒的加标浓度为 10,25,45 ng/L,回收率为 84.36%~108.50%,RSD 为 0.33%~8.11%。说明试验建立的 Fe₃O₄ MMIP NPs 比色检测 6-BA 具有一定的可靠性,且线性范围较宽(1~300 ng/mL),其检测过程时间短,成本低廉,且具有较高的准确度,可用于蔬菜中 6-BA 残留的快速测定。

2.7 Fe₃O₄ MMIP NPs 的酶促动力学分析

为了更深入探究 Fe₃O₄ MMIP NPs 的类过氧化物酶活性,对其进行酶促动力学分析。根据米氏方程[式(1)]计算反应初速度。

$$v = V_{\max} [S] / (K_m + [S]), \quad (1)$$

式中:

v ——反应初速度, mol/(L·s);

V_{\max} ——最大反应速率, mol/(L·s);

$[S]$ ——底物浓度, mmol/L;

K_m ——米氏常数。

以底物 H₂O₂ 浓度或 TMB 浓度为横坐标, v 为纵坐标,绘制出 Michaelis-Menten 曲线(图 7),再使用双倒数作图法(Lineweaver-Burk),分别得到 H₂O₂/TMB 浓度倒数对反应速率倒数的关系图,并计算得到 K_m 和 V_{\max} 。 K_m 值越小代表酶与底物的亲和力越强。

由表 2 可知, Fe₃O₄ MMIP NPs 对 H₂O₂ 和 TMB 的

K_m 值分别为 0.85, 0.69 mmol/L, 表明 Fe₃O₄ MMIP NPs 对 TMB 具有较高的亲和力,对 H₂O₂ 的亲和力相对较低。这可能与纳米材料表面的物理化学性质有关,由于其粒径小,比表面积大,表面电荷丰富,容易吸附带正电荷的 TMB^[32],对其具有较高亲和力。Fe₃O₄ MMIP NPs 对 H₂O₂ 和 TMB 的 K_m 值比辣根过氧化物酶(HRP)^[26] 的小,说明 Fe₃O₄ MMIP NPs 对 H₂O₂ 和 TMB 的亲和力比天然酶的高,可以催化 H₂O₂ 更快地氧化 TMB。与其他具有过氧化物酶活性的纳米材料相比^[12,26-31],试验中的 Fe₃O₄ MMIP NPs 对 TMB 和 H₂O₂ 表现出相对较高的亲和力和最大反应速率,进一步证实了 Fe₃O₄ MMIP NPs 与底物 TMB 和 H₂O₂ 具有较好的亲和力。

3 结论

基于制备的兼具超顺磁性、特异性吸附和类过氧化物酶催化活性的 Fe₃O₄ 磁分子印迹纳米粒子,建立了一种简单、快速、灵敏的蔬菜中 6-苄氨基腺嘌呤残留的比色检测方法。结果表明,试验制备的 Fe₃O₄ 磁分子印迹纳米粒子对 H₂O₂ 和 3,3',5,5'-四甲基联苯胺具有较强的亲和力,在 4 °C 冷藏 60 d 仍表现出较强的吸附性能和催化活性,具有良好贮存特性;通过外部磁力易于分离且可多次重复使用。最佳检测条件下,6-苄氨基腺嘌呤在 1~300 ng/mL 质量浓度范围内与 $\Delta A_{652 \text{ nm}}$ 具有良好的线性关系,相关系数为 0.998 4,检测限为 0.697 ng/mL,且该方法能应用于实际蔬菜中 6-苄氨基腺嘌呤的残留检测。试验方法的检测成本低、操作简单、反应时间短且现象明显,无需大型仪器设备即可快速检测,具有较大的应用前

表 1 实际样品加标回收试验结果

Table 1 Results of recovery experiments for real samples ($n=3$)

| 样品 | 比色法检测 | | | | ELISA 试剂盒 | | | |
|-----|-----------------------------------|-----------------------------------|-------------|-----------|----------------------------------|----------------------------------|-------------|-----------|
| | 加标质量浓度/ (ng·mL ⁻¹) | 检出质量浓度/ (ng·mL ⁻¹) | 平均回收 率/% | RSD/ % | 加标质量浓度/ (ng·L ⁻¹) | 检出质量浓度/ (ng·L ⁻¹) | 平均回收 率/% | RSD/ % |
| 黄瓜 | 50 | 53.38 | 106.76 | 5.66 | 10 | 10.85 | 108.50 | 4.21 |
| | 150 | 127.32 | 84.88 | 0.37 | 25 | 25.18 | 100.72 | 0.65 |
| | 250 | 227.31 | 90.92 | 2.58 | 45 | 46.59 | 103.54 | 2.39 |
| 西红柿 | 50 | 51.62 | 103.23 | 5.40 | 10 | 10.62 | 106.16 | 8.09 |
| | 150 | 130.24 | 86.83 | 3.09 | 25 | 25.38 | 101.59 | 1.05 |
| | 250 | 228.17 | 91.27 | 0.40 | 45 | 41.64 | 92.54 | 0.33 |
| 黄豆芽 | 50 | 47.49 | 94.98 | 3.71 | 10 | 9.22 | 92.22 | 5.27 |
| | 150 | 147.24 | 98.16 | 2.23 | 25 | 24.43 | 97.72 | 2.01 |
| | 250 | 250.51 | 100.20 | 2.53 | 45 | 37.96 | 84.36 | 0.69 |
| 绿豆芽 | 50 | 51.04 | 102.09 | 1.76 | 10 | 10.59 | 105.92 | 8.11 |
| | 150 | 154.89 | 103.26 | 2.47 | 25 | 25.32 | 101.27 | 4.05 |
| | 250 | 208.67 | 83.47 | 2.32 | 45 | 45.86 | 101.91 | 1.11 |

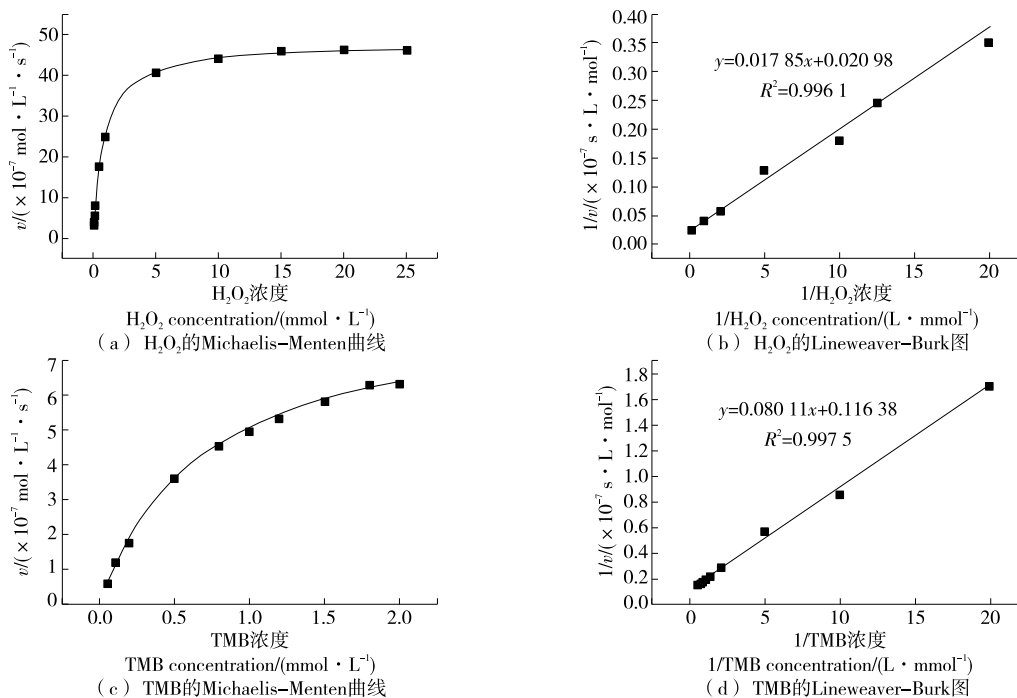


图 7 Fe₃O₄ MMIP NPs 的酶促动力学分析

Figure 7 Enzymatic kinetic analysis of Fe₃O₄ MMIP NPs

表 2 HRP 与各种纳米酶的 K_m 和 V_{max}

Table 2 K_m and V_{max} value of HRP and nanomaterials

| 材料 | K _m /(mmol·L ⁻¹) | | V _{max} /(×10 ⁻⁸ mol·L ⁻¹ ·s ⁻¹) | | 文献 |
|--|---|-------|---|--------|------|
| | H ₂ O ₂ | TMB | H ₂ O ₂ | TMB | |
| HRP | 2.345 | 5.560 | 2.380 | 0.503 | [26] |
| Fe ₃ O ₄ | 154.000 | 0.098 | 9.780 | 3.440 | [12] |
| Fe ₃ O ₄ @SiO ₂ @IL | 0.245 | 0.107 | 0.465 | 0.174 | [27] |
| AgPt-Fe ₃ O ₄ | 3.463 | 0.442 | 2.076 | 4.763 | [28] |
| Pd-Fe ₃ O ₄ | 177.240 | 0.031 | 74.630 | 68.210 | [29] |
| Cu-CuFe ₂ O ₄ | 0.087 | 0.690 | 16.870 | 32.180 | [30] |
| FeS ₂ /SiO ₂ | 0.013 | 0.948 | 18.100 | 31.000 | [31] |
| Fe ₃ O ₄ MMIP NPs | 0.850 | 0.690 | 4.766 | 0.859 | |

景。但对低浓度样本的覆盖范围尚存在局限性,需进一步优化以扩大其线性检测范围,提升试验方法的全面性。

参考文献

[1] LIU Q Q, XING Y R, PANG X H, et al. Electrochemical immunosensor based on MOF for rapid detection of 6-benzyladenine in bean sprouts[J]. Journal of Food Composition and Analysis, 2023, 115: 105003.
 [2] ZHANG Y X, GAO Z Y, HU M J, et al. Delay of ripening and senescence in mango fruit by 6-benzyladenine is associated with inhibition of ethylene biosynthesis and membrane lipid catabolism[J]. Postharvest Biology and Technology, 2022, 185: 111797.
 [3] GAN T, LU Z, SUN Y Y, et al. Highly sensitive and molecular

selective electrochemical sensing of 6-benzyladenine with multiwall carbon nanotube@SnS₂-assisted signal amplification[J]. Journal of Applied Electrochemistry, 2016, 46(3): 389-401.
 [4] WANG W X, WANG B R, LIU Z H, et al. Developmental toxicity and alteration of gene expression in zebrafish embryo exposed to 6-benzyladenine[J]. Chemosphere, 2019, 233: 336-346.
 [5] 刘飞波, 王希, 刘水平. QuEChERS-HPLC 法快速测定黄豆芽中 6-苄基腺嘌呤含量的不确定度评定[J]. 食品与机械, 2021, 37(11): 67-71, 91.
 LIU F B, WANG X, LIU S P. Evaluation of the uncertainty for determination of 6-benzyladenine in soybean sprouts by QuEChERS high-performance liquid chromatography[J]. Food & Machinery, 2021, 37(11): 67-71, 91.

- [6] 王丽荣, 贾文君, 陈明敏, 等. 高效液相色谱法(HPLC)测定芒果多种植物生长调节剂含量[J]. 植物生理学报, 2022, 58(5): 981-988.
WANG L R, JIA W J, CHEN M M, et al. Determination of contents of several plant growth regulators in mango by high performance liquid chromatography (HPLC)[J]. Plant Physiology Journal, 2022, 58(5): 981-988.
- [7] GONG T X, LI H N, WANG G L, et al. An anti-scratch flexible SERS substrate for pesticide residue detection on the surface of fruits and vegetables[J]. Nanotechnology, 2022, 33(40): 5 501-5 510.
- [8] 王德响, 段禹, 孔大彬, 等. 硫化铋/石墨烯修饰电极检测豆芽中的 6-苄氨基嘌呤[J]. 食品研究与开发, 2024, 45(2): 170-176.
WANG D X, DUAN Y, KONG D B, et al. Detection of 6-benzylaminopurine in bean sprouts by bismuth sulfide/graphene-modified electrode[J]. Food Research and Development, 2024, 45(2): 170-176.
- [9] QUAN Q Q, LIU Z W, LI Z D, et al. Authenticating emergent adulterant 6-benzylaminopurine in bean sprouts: virtual hapten similarity enhanced immunoassay[J]. Journal of Agricultural and Food Chemistry, 2023, 71(21): 8 203-8 210.
- [10] 王义平, 苏淑芳, 袁亚兰, 等. 纳米材料在食品重金属离子快速检测中的应用研究进展[J]. 食品与机械, 2024, 40(4): 233-240.
WANG Y P, SU S F, YUAN Y L, et al. Research progress of nanomaterials in the rapid detection of heavy metal ions in food[J]. Food & Machinery, 2024, 40(4): 233-240.
- [11] 邱星晨, 范存霞, 白瑞, 等. 纳米酶在抗生素检测中的应用进展[J]. 科学通报, 2024, 69(增刊): 553-564.
QIU X C, FAN C X, BAI R, et al. Advances in applications of nanoenzymes in antibiotic detection[J]. Chinese Science Bulletin, 2024, 69(Z1): 553-564.
- [12] GAO L Z, ZHUANG J, NIE L, et al. Intrinsic peroxidase-like activity of ferromagnetic nanoparticles[J]. Nature Nanotechnology, 2007, 2(9): 577-583.
- [13] 范克龙, 高利增, 魏辉, 等. 纳米酶[J]. 化学进展, 2023, 35(1): 1-87.
FAN K L, GAO L Z, WEI H, et al. Nanozymes[J]. Progress in Chemistry, 2023, 35(1): 1-87.
- [14] 周鸿燕, 宋璠. 基于 $\text{Fe}_3\text{O}_4@\text{TiO}_2@\text{Au}$ 的电化学传感器用于芦丁检测[J]. 食品与机械, 2023, 39(6): 81-87.
ZHOU H Y, SONG Y. Rutin detection by electrochemical sensor based on $\text{Fe}_3\text{O}_4@\text{TiO}_2@\text{Au}$ [J]. Food & Machinery, 2023, 39(6): 81-87.
- [15] TANG G H, HE J Y, LIU J W, et al. Nanozyme for tumor therapy: surface modification matters[J]. Exploration, 2021, 1(1): 75-89.
- [16] WANG Y C, DAI X Y, WU L N, et al. Atomic vacancies-engineered ultrathin trimetallic nanozyme with anti-inflammation and antitumor performances for intestinal disease treatment [J]. Biomaterials, 2023, 299: 122178.
- [17] 黄桂珍, 汪庆祥, 陈金美, 等. 灵芝酸 A 分子印迹聚合物电化学传感器的制备及应用[J]. 食品与机械, 2023, 39(1): 24-30.
HUANG G Z, WANG Q X, CHEN J M, et al. Preparation and analytical application of molecularly imprinted polymer electrochemical sensor for ganoderic acid A[J]. Food & Machinery, 2023, 39(1): 24-30.
- [18] PEYMAN A, SAJJAD J, SOMAYEH F, et al. Highly selective molecularly imprinted polymer nanoparticles (MIP NPs)-based microfluidic gas sensor for tetrahydrocannabinol (THC) detection [J]. Analytica Chimica Acta, 2023, 1 278: 341749.
- [19] TORRES E S, LÓPEZ R, SOTOMAYOR T P D M, et al. Synthesis, characterization, and evaluation of a novel molecularly imprinted polymer (MIP) for selective quantification of curcumin in real food sample by UV-Vis spectrophotometry[J]. Polymers, 2023, 15(16): 3 332-3 346.
- [20] 杨帆, 付东, 李鹏, 等. 磁性分子印迹聚合物中磁核的制备和表征[J]. 黑龙江大学工程学报, 2022, 13(4): 42-47.
YANG F, FU D, LI P, et al. Preparation and characterization of magnetic cores in magnetic molecularly imprinted polymers [J]. Journal of Engineering of Heilongjiang University, 2022, 13(4): 42-47.
- [21] LI M Q, LUO L L, LI J Y, et al. Colorimetric chemosensor based on Fe_3O_4 magnetic molecularly imprinted nanoparticles for highly selective and sensitive detection of norfloxacin in milk[J]. Foods, 2023, 12(2): 285-285.
- [22] GUO X X, YAO S, LI H, et al. Multi-functional magnetic molecular imprinting probe for visual detection of IgY antibodies [J]. Microchimica Acta, 2021, 188(11): 378.
- [23] ZHOU Y, LIU A, LI Y, et al. Magnetic molecular imprinted polymers-based nanozyme for specific colorimetric detection of protocatechuic acid[J]. Coatings, 2023, 13(8): 1 374.
- [24] 高婉茹, 李跑, 黄昭, 等. 磁性分子印迹纳米粒子对四环素的富集分离[J]. 食品研究与开发, 2019, 40(4): 173-182.
GAO W R, LI P, HUANG Z, et al. Enrichment and separation of tetracycline by magnetic molecularly imprinted polymers nanoparticles[J]. Food Research and Development, 2019, 40(4): 173-182.
- [25] XIONG Y Z, CAO Y N, LUO L, et al. Synthesis, characterization and absorption evaluation of bifunctional monomer magnetic molecularly imprinted polymers nanoparticles for the extraction of 6-benzylaminopurine from vegetables [J]. Food Chemistry, 2022, 386: 132792.
- [26] ZHANG X, YANG Q, LANG Y H, et al. The rationale of 3,3',5,5'-tetramethylbenzidine (TMB) as the chromogenic substrate in colorimetric analysis [J]. Analytical Chemistry, 2020, 92(18): 12 400-12 406.
- [27] 栗鑫, 罗磊, 熊莹姿, 等. $\text{Fe}_3\text{O}_4@\text{COOH}$ 纳米酶比色检测食用纯植物油的过氧化值[J]. 食品科学, 2023, 44(24): 352-359.
LI X, LUO L, XIONG Y Z, et al. The colorimetric detection of peroxidation values for edible pure vegetable oils by the $\text{Fe}_3\text{O}_4@\text{COOH}$ nanozyme[J]. Food Science, 2023, 44(24): 352-359.

(下转第 103 页)

5 结论

为解决传统谷糙分离存在的检测精度低且再加工问题,设计了基于机器视觉的谷糙分离检测方法。重点研究了图像处理算法,完成对谷糙分离特征坐标位置的智能检测,并在目标运动中减少不利因素的干扰,顺利地提取定位特征点。根据谷糙筛面试验结果表明:该方法具有较高的检测精度,提高了检测效率,并具有一定的实时性,可有效区分完好稻谷与糙米。

参考文献

- [1] 万国韬, 秦彦霞. 一种谷糙分离的新思路[J]. 现代食品, 2019(14): 8-9.
WAN G T, QIN Y X. A new idea for separation of rice roughness [J]. Modern Food, 2019(14): 8-9.
- [2] FOUDA T. Engineering studies on the performance of paddy and rice separator[J]. Misr Journal of Agricultural Engineering, 2009, 26(2): 935-952.
- [3] 徐兵, 晁东, 崔清亮. 6NG-16型重力式谷糙分离机的设计与研究[J]. 农业装备与车辆工程, 2021, 59(9): 20-22.
XU B, CHAO D, CUI Q L. Design and research of 6NG-16 gravity paddy separator[J]. Agricultural Equipment & Vehicle Engineering, 2021, 59(9): 20-22.
- [4] 王煜. 双筛体重力谷糙分离机的动力学分析与改进设计[D]. 武汉: 武汉轻工大学, 2020: 32.
WANG Y. Kinetic analysis and improved design of double sieve gravity paddy rice separator [D]. Wuhan: Wuhan Light Industry University, 2020: 32.
- [5] 宋春华, 彭泓知. 机器视觉研究与发展综述[J]. 装备制造技术, 2019(6): 213-216.
SONG C H, PENG X Z. Research and development of machine vision[J]. Equipment Manufacturing Technology, 2019(6): 213-216.
- [6] TOMASEVIC I, TOMOVIC V, MILOVANOVIC B, et al. Comparison of a computer vision system vs. traditional colorimeter for color evaluation of meat products with various physical properties[J]. Meat Sci, 2019, 148: 5-12.
- [7] 刘一鸿. 基于机器视觉技术的白酒杂质检测系统研究[D]. 西安: 西安工业大学, 2021: 7.
- [8] LIU Y H. Research on liquor impurities detection system based on machine vision[D]. Xi'an: Xi'an Technology University, 2021: 7.
- [8] 李张威. 基于机器视觉的鲜香菇分级系统构建及分级研究[D]. 保定: 河北农业大学, 2021: 21.
- LI Z W. Construction and grading system and study on classification of fresh Lentinula edodes based on machine vision[D]. Baoding: Hebei Agricultural University, 2021: 21.
- [9] 陈心雨. 基于Retinex的低光照图像增强的算法研究[D]. 烟台: 山东工商学院, 2022: 14.
CHEN X Y. Research on algorithm of low-light image enhancement based on Retinex[D]. Yantai: Shandong University of Business and Technology, 2022: 14.
- [10] 张晴晴, 张云龙, 齐国红. 基于最大类间方差法的黄瓜病害叶片分割[J]. 安徽农业科学, 2017, 45(12): 193-195, 234.
ZHANG Q Q, ZHANG Y L, QI G H. Segmentation of cucumber diseases based on otsu method[J]. Journal of Anhui Agricultural Sciences, 2017, 45(12): 193-195, 234.
- [11] 刘丽霞, 李宝文, 王阳萍, 等. 改进Canny边缘检测的遥感影像分割[J]. 计算机工程与应用, 2019, 55(12): 54-58, 180.
LIU L X, LI B W, WANG Y P, et al. Remote sensing image segmentation based on improved canny edge detection [J]. Computer Engineering and Applications, 2019, 55(12): 54-58, 180.
- [12] 周其洪, 彭轶, 岑均豪, 等. 基于机器视觉的细纱接头机器人纱线断头定位方法[J]. 纺织学报, 2022, 43(5): 163-169.
ZHOU Q H, PENG Y, CEN J H, et al. Yarn breakage location for yarn joining robot based on machine vision[J]. Journal of Textile Research, 2022, 43(5): 163-169.
- [13] 高向东, 吴嘉杰, 萧振林, 等. 磁光成像自适应卡尔曼滤波焊缝跟踪算法[J]. 焊接学报, 2016, 37(3): 9-12, 129.
GAO X D, WU J J, XIAO Z L, et al. Adaptive Kalman filter seam tracking algorithm for magneto-optical imaging[J]. Transactions of the China Welding Institution, 2016, 37(3): 9-12, 129.
- [14] 徐子恒, 夏仁波, 赵吉宾, 等. 基于RANSAC和卡尔曼滤波的窄焊缝识别[J]. 组合机床与自动化加工技术, 2022(2): 50-53, 58.
XU Z H, XIA R B, ZHAO J B, et al. Narrow weld spot recognition based on RANSAC and kalman filtering[J]. Modular Machine Tool & Automatic Manufacturing Technique, 2022(2): 50-53, 58.
- [30] DUAN W, QIU Z W, CAO S F, et al. Pd-Fe₃O₄ Janus nanozyme with rational design for ultrasensitive colorimetric detection of biothiols[J]. Biosensors and Bioelectronics, 2022, 196: 113724.
- [31] XIA F, SHI Q F, NAN Z D. Facile synthesis of Cu-CuFe₂O₄ nanozymes for sensitive assay of H₂O₂ and GSH [J]. Dalton Transactions, 2020, 49(36): 12 780-12 792.
- [32] HUANG X, XIA F, NAN Z D. Fabrication of FeS₂/SiO₂ DMHSs and rapid determination of H₂O₂ and GSH as an artificial peroxidase[J]. ACS Applied Materials & Interfaces, 2020, 12(41): 46 539-46 548.

(上接第76页)

- [28] 杨培昕, 喻昌木, 杨敏, 等. 固载离子液体修饰Fe₃O₄纳米酶用于H₂O₂和葡萄糖的检测[J]. 食品科学, 2021, 42(20): 252-259.
YANG P X, YU C M, YANG M, et al. Immobilized ionic liquid modified Fe₃O₄ nanozyme for the detection of hydrogen peroxide and glucose in foods[J]. Food Science, 2021, 42(20): 252-259.
- [29] DUAN W, WANG J L, PENG X M, et al. Rational design of trimetallic AgPt-Fe₃O₄ nanozyme for catalyst poisoning-mediated CO colorimetric detection[J]. Biosensors and Bioelectronics, 2023, 223: 115022.